

Starkniederschlagshöhen und -spenden gemäß KOSTRA-DWD-2020

Rasterfeld 204119

(Zeile 204, Spalte 119)

Regenspende und Bemessungsniederschlagswerte in Abhängigkeit von Wiederkehrzeit T und Dauerstufe D

| Dauerstufe D | | Wiederkehrzeit T | | | | | | | | | | | | | | | | | |
|--------------|-----|------------------|------------|-------|------------|-------|------------|-------|------------|-------|------------|-------|------------|-------|------------|-------|------------|-------|------------|
| | | 1 a | | 2 a | | 3 a | | 5 a | | 10 a | | 20 a | | 30 a | | 50 a | | 100 a | |
| min | Std | mm | l / (s ha) | mm | l / (s ha) | mm | l / (s ha) | mm | l / (s ha) | mm | l / (s ha) | mm | l / (s ha) | mm | l / (s ha) | mm | l / (s ha) | mm | l / (s ha) |
| 5 | | 7,6 | 253,3 | 9,1 | 303,3 | 10,1 | 336,7 | 11,4 | 380,0 | 13,3 | 443,3 | 15,2 | 506,7 | 16,4 | 546,7 | 18,0 | 600,0 | 20,4 | 680,0 |
| 10 | | 9,7 | 161,7 | 11,8 | 196,7 | 13,0 | 216,7 | 14,7 | 245,0 | 17,1 | 285,0 | 19,5 | 325,0 | 21,1 | 351,7 | 23,2 | 386,7 | 26,3 | 438,3 |
| 15 | | 11,2 | 124,4 | 13,6 | 151,1 | 15,0 | 166,7 | 16,9 | 187,8 | 19,7 | 218,9 | 22,5 | 250,0 | 24,4 | 271,1 | 26,8 | 297,8 | 30,3 | 336,7 |
| 20 | | 12,4 | 103,3 | 15,0 | 125,0 | 16,6 | 138,3 | 18,7 | 155,8 | 21,7 | 180,8 | 24,9 | 207,5 | 26,9 | 224,2 | 29,6 | 246,7 | 33,4 | 278,3 |
| 30 | | 14,2 | 78,9 | 17,2 | 95,6 | 19,1 | 106,1 | 21,5 | 119,4 | 25,0 | 138,9 | 28,6 | 158,9 | 30,9 | 171,7 | 34,0 | 188,9 | 38,4 | 213,3 |
| 45 | | 16,3 | 60,4 | 19,8 | 73,3 | 21,9 | 81,1 | 24,6 | 91,1 | 28,6 | 105,9 | 32,8 | 121,5 | 35,5 | 131,5 | 39,0 | 144,4 | 44,1 | 163,3 |
| 60 | 1 | 18,0 | 50,0 | 21,8 | 60,6 | 24,1 | 66,9 | 27,1 | 75,3 | 31,5 | 87,5 | 36,1 | 100,3 | 39,1 | 108,6 | 43,0 | 119,4 | 48,5 | 134,7 |
| 90 | 1,5 | 20,6 | 38,1 | 24,9 | 46,1 | 27,6 | 51,1 | 31,1 | 57,6 | 36,1 | 66,9 | 41,3 | 76,5 | 44,7 | 82,8 | 49,2 | 91,1 | 55,6 | 103,0 |
| 120 | 2 | 22,7 | 31,5 | 27,4 | 38,1 | 30,4 | 42,2 | 34,2 | 47,5 | 39,8 | 55,3 | 45,5 | 63,2 | 49,3 | 68,5 | 54,2 | 75,3 | 61,2 | 85,0 |
| 180 | 3 | 26,0 | 24,1 | 31,4 | 29,1 | 34,8 | 32,2 | 39,2 | 36,3 | 45,5 | 42,1 | 52,1 | 48,2 | 56,4 | 52,2 | 62,0 | 57,4 | 70,1 | 64,9 |
| 240 | 4 | 28,6 | 19,9 | 34,6 | 24,0 | 38,3 | 26,6 | 43,1 | 29,9 | 50,1 | 34,8 | 57,3 | 39,8 | 62,1 | 43,1 | 68,2 | 47,4 | 77,1 | 53,5 |
| 360 | 6 | 32,7 | 15,1 | 39,6 | 18,3 | 43,8 | 20,3 | 49,3 | 22,8 | 57,3 | 26,5 | 65,6 | 30,4 | 71,0 | 32,9 | 78,1 | 36,2 | 88,2 | 40,8 |
| 540 | 9 | 37,4 | 11,5 | 45,3 | 14,0 | 50,1 | 15,5 | 56,5 | 17,4 | 65,6 | 20,2 | 75,1 | 23,2 | 81,3 | 25,1 | 89,4 | 27,6 | 101,0 | 31,2 |
| 720 | 12 | 41,2 | 9,5 | 49,8 | 11,5 | 55,1 | 12,8 | 62,1 | 14,4 | 72,2 | 16,7 | 82,6 | 19,1 | 89,4 | 20,7 | 98,3 | 22,8 | 111,1 | 25,7 |
| 1080 | 18 | 47,1 | 7,3 | 57,0 | 8,8 | 63,1 | 9,7 | 71,1 | 11,0 | 82,6 | 12,7 | 94,5 | 14,6 | 102,3 | 15,8 | 112,5 | 17,4 | 127,1 | 19,6 |
| 1440 | 24 | 51,9 | 6,0 | 62,7 | 7,3 | 69,4 | 8,0 | 78,2 | 9,1 | 90,9 | 10,5 | 104,0 | 12,0 | 112,5 | 13,0 | 123,7 | 14,3 | 139,8 | 16,2 |
| 2880 | 48 | 65,3 | 3,8 | 78,9 | 4,6 | 87,3 | 5,1 | 98,4 | 5,7 | 114,4 | 6,6 | 130,8 | 7,6 | 141,6 | 8,2 | 155,7 | 9,0 | 176,0 | 10,2 |
| 4320 | 72 | 74,7 | 2,9 | 90,3 | 3,5 | 99,9 | 3,9 | 112,6 | 4,3 | 130,9 | 5,1 | 149,7 | 5,8 | 162,0 | 6,3 | 178,2 | 6,9 | 201,3 | 7,8 |
| 5760 | 96 | 82,2 | 2,4 | 99,3 | 2,9 | 109,9 | 3,2 | 123,9 | 3,6 | 144,0 | 4,2 | 164,7 | 4,8 | 178,2 | 5,2 | 196,0 | 5,7 | 221,5 | 6,4 |
| 7200 | 120 | 88,5 | 2,0 | 106,9 | 2,5 | 118,4 | 2,7 | 133,4 | 3,1 | 155,0 | 3,6 | 177,3 | 4,1 | 191,9 | 4,4 | 211,1 | 4,9 | 238,5 | 5,5 |
| 8640 | 144 | 94,0 | 1,8 | 113,6 | 2,2 | 125,7 | 2,4 | 141,7 | 2,7 | 164,7 | 3,2 | 188,4 | 3,6 | 203,9 | 3,9 | 224,2 | 4,3 | 253,4 | 4,9 |
| 10080 | 168 | 98,9 | 1,6 | 119,6 | 2,0 | 132,3 | 2,2 | 149,1 | 2,5 | 173,3 | 2,9 | 198,3 | 3,3 | 214,6 | 3,5 | 236,0 | 3,9 | 266,7 | 4,4 |

Starkniederschlagshöhen und -spenden gemäß KOSTRA-DWD-2020

Rasterfeld 204119

(Zeile 204, Spalte 119)

Örtliche Unsicherheiten in Abhängigkeit von Wiederkehrzeit T und Dauerstufe D

| Dauerstufe D | | Wiederkehrzeit T | | | | | | | | |
|--------------|-----|------------------|-----|-----|-----|------|------|------|------|-------|
| | | 1 a | 2 a | 3 a | 5 a | 10 a | 20 a | 30 a | 50 a | 100 a |
| min | Std | ± % | ± % | ± % | ± % | ± % | ± % | ± % | ± % | ± % |
| 5 | | 19 | 21 | 21 | 21 | 22 | 23 | 23 | 23 | 24 |
| 10 | | 23 | 24 | 25 | 25 | 26 | 27 | 27 | 27 | 28 |
| 15 | | 24 | 25 | 26 | 27 | 27 | 28 | 28 | 29 | 29 |
| 20 | | 24 | 26 | 26 | 27 | 28 | 28 | 29 | 29 | 30 |
| 30 | | 24 | 26 | 26 | 27 | 28 | 28 | 29 | 29 | 30 |
| 45 | | 24 | 25 | 26 | 26 | 27 | 28 | 28 | 28 | 29 |
| 60 | 1 | 23 | 24 | 25 | 26 | 26 | 27 | 27 | 28 | 28 |
| 90 | 1,5 | 22 | 23 | 24 | 24 | 25 | 26 | 26 | 26 | 27 |
| 120 | 2 | 20 | 22 | 22 | 23 | 24 | 24 | 25 | 25 | 26 |
| 180 | 3 | 19 | 20 | 21 | 21 | 22 | 23 | 23 | 23 | 24 |
| 240 | 4 | 18 | 19 | 19 | 20 | 21 | 21 | 22 | 22 | 23 |
| 360 | 6 | 16 | 17 | 18 | 18 | 19 | 20 | 20 | 20 | 21 |
| 540 | 9 | 15 | 16 | 16 | 17 | 17 | 18 | 18 | 19 | 19 |
| 720 | 12 | 14 | 15 | 15 | 16 | 16 | 17 | 17 | 17 | 18 |
| 1080 | 18 | 13 | 14 | 14 | 14 | 15 | 15 | 16 | 16 | 16 |
| 1440 | 24 | 13 | 13 | 13 | 14 | 14 | 15 | 15 | 15 | 16 |
| 2880 | 48 | 13 | 13 | 13 | 13 | 13 | 13 | 14 | 14 | 14 |
| 4320 | 72 | 14 | 14 | 13 | 13 | 13 | 13 | 14 | 14 | 14 |
| 5760 | 96 | 15 | 14 | 14 | 14 | 14 | 14 | 14 | 14 | 14 |
| 7200 | 120 | 16 | 15 | 15 | 14 | 14 | 14 | 14 | 14 | 14 |
| 8640 | 144 | 17 | 16 | 15 | 15 | 15 | 15 | 15 | 15 | 15 |
| 10080 | 168 | 17 | 16 | 16 | 16 | 15 | 15 | 15 | 15 | 15 |

Parameter für abweichende T und D

Lokationsparameter ξ (Xi)

18,08628566

Skalenparameter α (Alpha)

5,24701324

Formparameter κ (Kappa)

-0,1

1. Koutsoyiannis-Parameter θ (Theta)

0,00607417

2. Koutsoyiannis-Parameter η (Eta)

0,66828306

Parameter für dauerstufenübergreifende Extremwertschätzung nach KOUTSOYIANNIS et al. 1998.

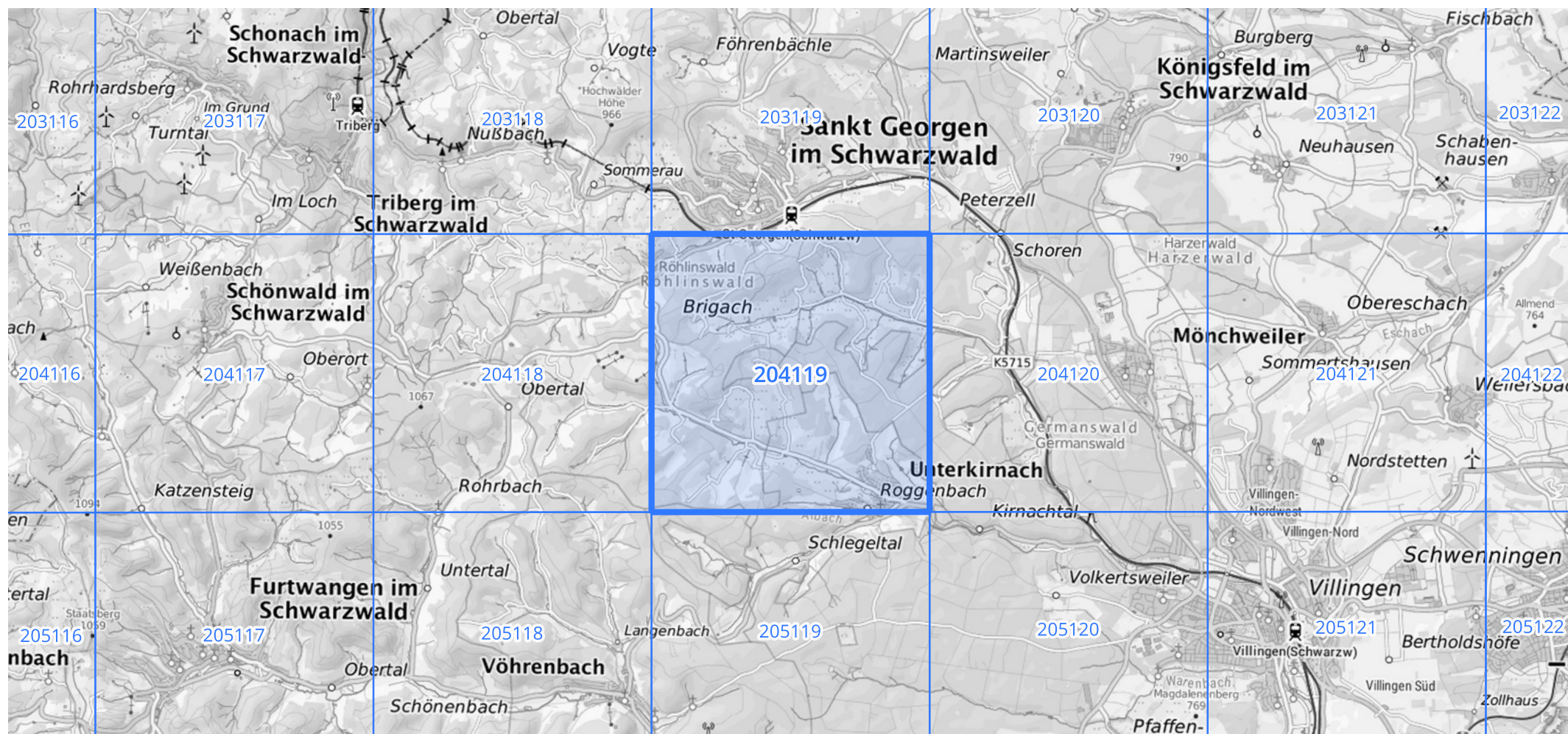
Siehe auch Anwendungshilfe zu KOSTRA-DWD-2020 des Deutschen Wetterdienstes.

Starkniederschlagshöhen und -spenden gemäß KOSTRA-DWD-2020

Rasterfeld 204119

(Zeile 204, Spalte 119)

Übersichtskarte des Rasterfeldes 204119, M 1 : 100 000



Quelle Rasterdaten: KOSTRA-DWD-2020 des Deutschen Wetterdienstes, Stand 12/2022.

Seite 3 von 3

Kartendarstellung: © Bundesamt für Kartographie und Geodäsie (2023), Datenquellen: https://sgx.geodatenzentrum.de/web_public/gdz/datenquellen/Datenquellen_TopPlusOpen.html

Für die Richtigkeit und Aktualität der Angaben wird keine Gewähr übernommen. Erstellt 01/2023.